

## 一様海底勾配を有する湾の湾水振動

京都大学工学部 正 酒井哲郎

まえがき 昨年秋、文部省科学研究費自然災害特別研究(II)“三陸大津波来襲時の被害予測”(東北大学岩崎敏夫教授代表)のメンバーとして、三陸沿岸を見学する機会を得た。その時、昭和8年の三陸津波の時に30mという海上高を記録した鳴里湾をはじめ、湾奥に向うほど幅も水深も減少するV字型の谷の形状をした湾の多いことが印象に残った。このような点は、湾水振動と海上とか連絡して高さ水位を生じるものと思われる。最高水位は津波の陸上部への海上によつて決まるが、湾水振動としての帶幅の効果も無視できない。この場合湾水振動に対して、湾内の底勾配がどのように効果をもつてしまだらうか。この問題に関しては、これまで若干の考察<sup>1), 2)</sup>があるにちます、本格的に湾水振動理論といたる、たものはないと思われる。ここでは、最も簡単な場合として、水深が一様に減少し、湾奥へ完全反射を生じる鉛直壁を有する長方形湾における湾水振動に対する底勾配の効果を理論的に検討する。

2 理論 まず、2のよう仮定する。  
 1) 波動は線型長波,  $\partial u/\partial t + g \partial \eta / \partial x = 0$  ----- (1)  
 2) 外海は一様水深, 3) 湾口部<防波堤左, 4) 湾内で  $\partial v/\partial t + g \partial \eta / \partial y = 0$  ----- (2)  
 は複移動無視, 5) 湾内の水深は湾軸方向に一様に減少。  $\partial \eta / \partial x + \partial(h \cdot u) / \partial x + \partial(h \cdot v) / \partial y = 0$  ----- (3)  
 運動方程式は(1), (2)式, 運流式は(3)式で与えられる。  
 $\eta = a e^{i \omega t} + (x, y)$  ----- (4)  
 水位  $\eta$  を(4)式で与えると,  $u, v$  は(1), (2)式より(5), (6)式で  $u = -(\alpha g / i \omega) e^{i \omega t} + x$  ----- (5)  
 生かされ。境界条件は、図-1を参照して、(5), (6)式より,  
 $v = -(\alpha g / i \omega) e^{i \omega t} + y$  ----- (6)  
 (7)～(12)式で与えられる。

$x = -b, b, -s \leq y \leq 0$  :  $f_{1y} = 0$  --- (7) の表現は、Dippen-Goda<sup>3)</sup> によつてある。すなはち(10)式の  
 $|x| > b, y = 0$  :  $f_{1y} = 0$  --- (8) 形は,  $h_1 = \text{const}$ . であるので、外海における完全重複波と  
 $|x| \leq b, y = -s$  :  $f_{1y} = 0$  --- (9) であります。(12)式を、(6)式の関係を用いて変形すると,  
 $x^2 + y^2 \rightarrow \infty$  :  $f_{1y}(x, y) = \cos(\sigma/\sqrt{gh_1} \cdot y)$  --- (10) (13)式のようになります。ここで、 $C$ および  $\omega$  は未知定数で  
 $|x| \leq b, y = 0$  :  $\eta_1(x, 0) = \eta_2(x, 0)$  --- (11) ある (これは波速ではない)。外海における  $h_1 = \text{const}$   
 “ ” “ ” :  $v_1(x, 0) = v_2(x, 0)$  --- (12) である、(11)～(4)式より  $f_{1y}$  の他の式に代入すると、Dippen-Goda  
 $f_{1y}(x, 0) = f_{2y}(x, 0) \equiv (\sigma/\sqrt{gh_1}) C e^{i \omega t}$  --- (13) の場合と同様となる。 $f_{1y}$  が満たすべき  
 $f_{1y}(x, y) = \cos(\sigma/\sqrt{gh_1} \cdot y) + (\sigma/\sqrt{gh_1}) C e^{i \omega t} \{ I_1(x, y) - I_2(x, y) \}$  --- (14) 条(4), (8), (10), (11), (13)式の3つ + (11)式<sup>1), 2)</sup>を  
 $h_2(x, y) = h_1 + s \cdot y$  --- (15) を満たす解は、(14)式で与えられる。

$y' \cdot d^2 f / dy'^2 + df / dy' + (\sigma^2 / gs) f = 0$  --- (16)  $I_1, I_2$  は、Dippen-Goda の (2, 19, 1) および (2,  
 $f_2(y) = C J_0(2\sigma\sqrt{(y+h_1)/gs}) + D N_0(2\sigma\sqrt{(y+h_1)/gs})$  --- (17) 19, 2) 式を参照された。(16)式を参考された。(17)  
 $f_2 = -C e^{i \omega t} \frac{N_1(2\sigma\sqrt{y'/gs}) \cdot J_0(2\sigma\sqrt{(y'+s)/gs}) - J_1(2\sigma\sqrt{y'/gs}) \cdot N_0(2\sigma\sqrt{(y'+s)/gs})}{N_1(2\sigma\sqrt{y'/gs}) \cdot J_1(2\sigma\sqrt{y'/gs}) - J_0(2\sigma\sqrt{y'/gs}) \cdot N_1(2\sigma\sqrt{y'/gs})}$  --- (18) 方、湾内では假定 5) なり、  
 $\eta_1(x, 0) = a e^{i \omega t} + a e^{i(\omega t + \omega)} (i\psi_1 - \psi_2)$  --- (19) (15)式のようになり、また假  
 $c = 1/\sqrt{(z - \psi_1)^2 + \psi_1^2}, \omega = -\tan^{-1}\{\psi_1/(z + \psi_1)\}$  --- (20) 定 4) なり  $f_2(x, y) \equiv f_2(y)$ 。  
 (16)式, (17)式は、 $h_1 + s \cdot y \equiv s \cdot y'$  となる

$$Z = \{N_1(D)J_0(D) - J_1(D)N_0(D)\} / \{N_1(D')J_0(D) - J_1(D')N_0(D)\} \quad \dots (21)$$

$$D = 2(k_1 h_1)/s \quad \dots (22)$$

$$D' = 2/s \sqrt{k_1 h_1} \cdot \sqrt{k_1 h_1 - s^2 k_1^2} \quad \dots (23)$$

$$R_{y=1} = |J_2(y=1)| / |J_1(y=0)| = |Z| / \sqrt{(Z - Z')^2 + k_1^2} \quad \dots (24)$$

$$Z' = \{N_1(D)J_0(D') - J_1(D)N_0(D')\} / \{N_1(D)J_0(D) - J_1(D)N_0(D)\} \quad \dots (25)$$

ば、(16) 式とある。 (16) 式は斜面上の線型長波の式であり(岩垣 酒井<sup>4)</sup>)、

その一般解は  $J_0, N_0$  をそれを用いたベッセル関数とすれば(17)式で与えられる。  $k_1$  が満たすべき条件(7), (9), (11), (13)式のうち(17)

式はすべて満たしてあり、(11)式以外を満たす解とは(18)式で与えられる。最後に満たす条件(11)式は、未知定数である  $s$  を決定する。 Ippen-Goda と同様、(11)式を港内部平均して成立するものとする。 $\sigma/\sqrt{\eta_0 h_1} = k_1, \lambda = b$  とおけば、(14), (4)式から得られる  $\eta_1$  は、Ippen-Goda の(2.20)式と同じである、 $\eta_1$  の港内幅方向の平均値は(19)式で与えられる。 $\psi_1, \psi_2$  は  $k_1 b l (= \sigma/\sqrt{\eta_0 h_1} \cdot b)$  の関数となる、Ippen-Goda の(2.34, 1.2)式で与えられる。一方、 $\eta_2(2.1.6) = (\sigma/0)^2$  である(11)式より(20)式のように  $C, \omega$  を求める。ここで  $\bar{x}, D, D'$  はそれぞれ(21)~(23)式のようである。(18)式と(4)式より  $\eta_2$  を求めれば、港奥での増幅率  $R_{y=1}$  が(24)式となる。ここで  $Z'$  は(25)式で与えられる。なお、 $\psi_1, \psi_2$  は  $k_1 b l$  の関数であり方形余弦  $B = \frac{1}{2}(k_1 b l)(2b/l)$  の関数である。結局港奥の増幅率は、 $2b/l, h_1$  および  $s = 1/10, 1/20, 1/50, 1/100$  にて計算した  $R_{y=1}$  が図-2 に示してある。なお図中には

$2b/l = 0.2$  の場合の Ippen-Goda の理論曲線( $s=0$ に対する)も示してある。一般的に、底面傾斜角によっては Ippen-Goda の一樣水深の浅水振動の共振曲線とくらべて、第1次共振点( $k_1 b l$ )<sub>1</sub>, 第2次共振点( $k_1 b l$ )<sub>2</sub>とも減少し、その増幅率( $R_{y=1}$  および  $R_{y=2}$ )はともに増加する傾向が見られる。

なお、本研究に当り終始熱心に御指導頂いた京都大学工学部岩垣雄一教授に感謝するとともに、文部省科学研究費による研究であることを付記する。参考文献 1)

松本修一 西村益夫, 第14回海講, 1967, 2) 須川清司

西村に嗣,

第20回海講,

1973, 3)

Ippen, A. T. and

T. Goda, M.I.T

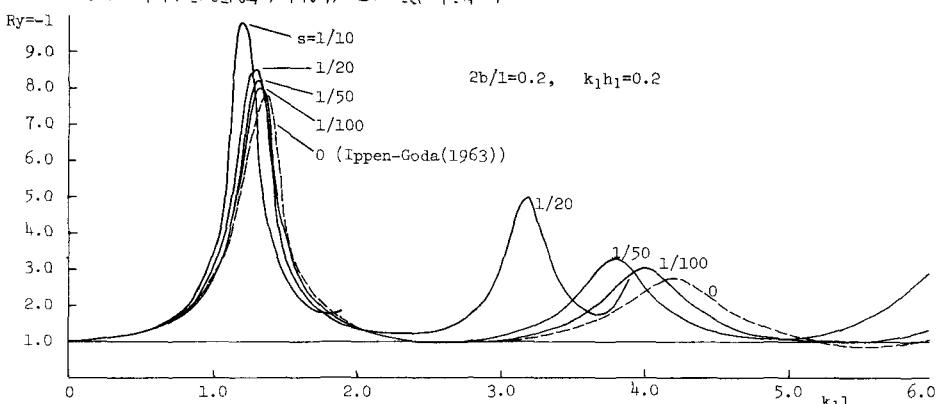
Hyd. Lab. Rep.

No. 59, 1963,

4) 岩垣 雄一 -

酒井哲郎,

土木学会論文



報告集 No. 196, 1971

図-2 一様底面傾斜角を有する港の浅水振動の共振曲線の例(  $2b/l = 0.2, k_1 h_1 = 0.2$  )

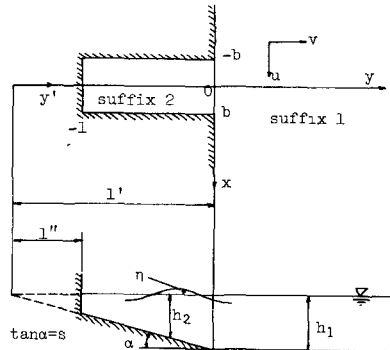


図-1. 記号の説明